



کانی شناسی نوع زایش کانسنگ آهن در معدن آبپونه، پهنه سندج سیرجان

شیوا شاکری*

گروه زمین شناسی مواد معدنی و منابع آب، دانشکده علوم زمین، دانشگاه شهید بهشتی، تهران، ایران

(دریافت مقاله: ۱۴۰۲/۸/۶، نسخه نهایی: ۱۴۰۲/۹/۱۴)

چکیده: معدن آهن آبپونه در ۸۵ کیلومتری غرب استان اصفهان در بخش میانی پهنه ساختاری سندج سیرجان قرار دارد. سنگ میزان کانسنگ آبپونه شامل ماسه سنگ دگرگونه، شیست و فیلیت است. کانی های سیلیکاتی که ضمن دگرگونی سنگ میزان در کانسنگ ایجاد شده اند، موسکویت و کلریت بوده و نشانده نهادی رخساره شیست سبز هستند. کانسنگ آهن به طور عمده با بافت نواری و همچنین با بافت توده ای وجود دارد. کانسنگ آهن از نظر بافت، کانی شناسی و ترکیب شیمیایی، قابل مقایسه با کانسنگ های آهن نواری دگرگون شده است. ویژگی های بافتی و ساختی نشان دهنده خاستگاه رسوبی درونزدی کانسنگ در آبپونه است. دگرگونی پس از تشکیل کانسنگ رخداده و سبب بازتابیور کانسنگ و سنگ میزان شده است. اجزای تشکیل دهنده کانسنگ در نتیجه فرسایش سنگ های تخریبی قاره ای و به احتمال بسیار از سیال های گرمابی وابسته به فعالیت های آتشفسانی زیردریایی تأمین شده باشند. الگوی توزیع عناصر اصلی و فرعی کانسنگ و سنگ میزان، در نمودارهای گوناگون کمابیش مشابه بوده و این امر نشانگ تشکیل آنها در یک محیط رسوبی مشابه است.

واژه های کلیدی: آب پونه؛ سندج سیرجان؛ کانی شناسی؛ کانسنگ توده ای؛ کانسنگ نواری.

مقدمه

سرزمین ایران از دیدگاه زمین ساخت جهانی، بخشی از کمریند پرتحرک و فعال کوهزاد آلب هیمالیا به شمار می آید که از شرق اقیانوس اطلس تا غرب اقیانوس آرام گسترش یافته است [۱]. کمریند یا پهنه دگرگونی- ماقمایی سندج سیرجان با روند شمال غربی- جنوب شرقی به طول ۱۵۰۰ کیلومتر و پهنه ای ۲۰۰ کیلومتر در جنوب و جنوب غربی ایران مرکزی و در بخش میانی کمریند آلب- هیمالیا قرار دارد [۲].

ویژگی های زمین شناسی این پهنه سبب شده است تا از گذشته های دور مورد توجه زمین شناسان باشد. این پهنه ساختاری توسط زمین شناسان مختلف با نام های متفاوتی معرفی شده است، از جمله پهنه همدان [۳]، سندج سیرجان [۴]، پهنه دگرگونی زاگرس [۵] و پهنه مریوان منوجان [۱]. اما از میان آنها، سندج سیرجان رایج تر است. پهنه سندج سیرجان با سنگ های به شدت دگرگون و دگر شکل شده با سنگ مادر رسوبی و آتشفسانی، همراه با توده های نفوذی

*نویسنده مسئول، پست الکترونیکی: shakeri_shiva@yahoo.com

سنگ میزبان و کانسنگ آهن انجام شد. برای بررسی ویژگی‌های واحدهای دگرگونی و سنگ‌های میزبان کانسنگ آهن، ۲۸ مقطع نازک و ۸ مقطع صیقلی از نمونه‌های معرف این واحدها برای شناسایی کانی و بافت‌های آن تهیه شد. به منظور بررسی شیمی کانسنگ و چگونگی زایش آن، تعداد ۱۵ نمونه کانسنگ خرد و تا ۹۰ میکرون پودر شد و پس از آماده‌سازی برای تجزیه با طیف‌سنج جرمی پلاسمای جفت‌شده القایی (ICP-MS)، سری ۷۹۰۰ به روش انحلال چهار اسید و با طیف سنج فلورسانس پرتوی ایکس (XRF) Lab Center-1800 به روش قرص ذوبی، به بخش شیمی سازمان توسعه و نوسازی معادن و صنایع معدنی ایران (ایمیدرو) ارسال شدند. آماده‌سازی نمونه‌ها در آزمایشگاه رسوب‌شناسی دانشگاه شهید بهشتی انجام شد.

در پایان، نقشه بازسازی شده معدن با نرم افزار Arc Gis رسم شد (شکل ۱). همچنین برای تفسیر داده‌های زمین شیمیایی و رسم نمودارها از نرم افزارهای Corel GCDkit و draw استفاده شد.

زمین‌شناسی و سنگ نگاری

معدن آبپونه در غرب روستای آبپونه و غرب شهرستان تبران، در بخش میانی کمربند‌آذربین دگرگونی سندج سیرجان قرار دارد [۲۰] (شکل ۲). قدیمی‌ترین واحدسنگی رخنمون یافته در منطقه گرانیت‌گنیس بوده و در بخش جنوب‌غربی نقشه قابل دیده است (شکل ۲). این واحد شامل بافت گنیسی و از نظر کانی‌شناسی، دارای کانی‌های کوارتز، پلازیوکلاز، فلدسپات پاتاسیم، بیوتیت، آمفیبیول، موسکوکیت، زیرکن، اسفن و آلاتیت است [۲۱].

واحد سنگی گارنت‌آمفیبیول شیست نیز در منطقه رخنمون دارد که در جنوب‌غربی نقشه قابل دیده است (شکل ۱). این واحدسنگی دارای بافت ورقه شکفتی و سنگ‌های شیستی آن در بردارنده شکفته بلورهای آمفیبیول از جنس ترمولیت، اکتینولیت و گارنت هستند. در این واحد سنگی بلورهای آمفیبیول به شکل تخته‌ای یا تیغه‌ای در تشکیل برگوارگی غالب سنگ نقش اساسی دارند افزون بر آمفیبیول، بلورهای نیمه شکل دار گارنت که در محل شکستگی به کلریت تجزیه شده‌اند نیز دیده می‌شوند. در این سنگ‌ها همچنین، بلورهای بی‌شکل فلدسپات‌های قلیایی و به مقدار کمتر کانی‌های کوارتز با خاموشی موجی و به شکل باز تبلور یافته به چشم می‌خورند [۱۹].

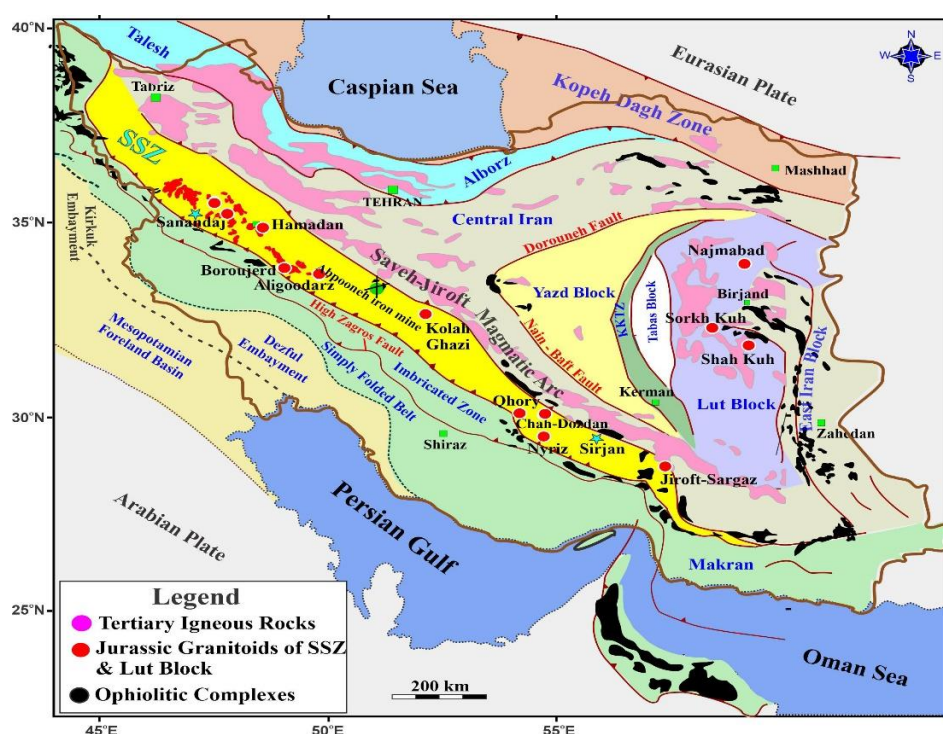
همه کسی ۱۶، گلالي و شهرک در بخش‌هایی از استان‌های همدان، کردستان و کرمانشاه [۱۵] اشاره کرد. کانسنگ‌های اکسیدی آهن در همه دوره‌های گمین‌شناسی از آرکئن تا فانزوژوئیک با فرایندهای گوناگون ماقمایی، گرمابی و رسوبی-درونزادی تشکیل شده‌اند. بیشتر ذخایر آهن شناخته شده ایران در ناحیه بافق در ایران مرکزی قرار دارند که تصور می‌شود که ذخایر نوع کایرونا یا اکسید آهن‌آپاتیت هستند [۱۶].

ذخایر آهن اسکارنی نیز در ایران وجود دارند که به عنوان یک مثال بارز آن می‌توان به ذخیره آهن سنگان اشاره کرد. یک نوع از ذخایر آهن که در ایران کمتر به آن توجه شده‌است، ذخایر آهن رسوبی-درونزادی است. نمونه‌هایی از این ذخایر پیشتر در ایران شناخته شده و برخی مورد بهره‌برداری قرار گرفته‌اند. داده‌های موجود نشان می‌دهد که کمربند سندج سیرجان از میزبان‌های مهم ذخایر آهن در سنگ‌های میزبان رسوبی است. توزیع زمانی و شرایط تشکیل این ذخایر و ارتباط آنها با فرایندهای دگرگونی اهمیت زیادی در پی جویی ناحیه‌ای دارد.

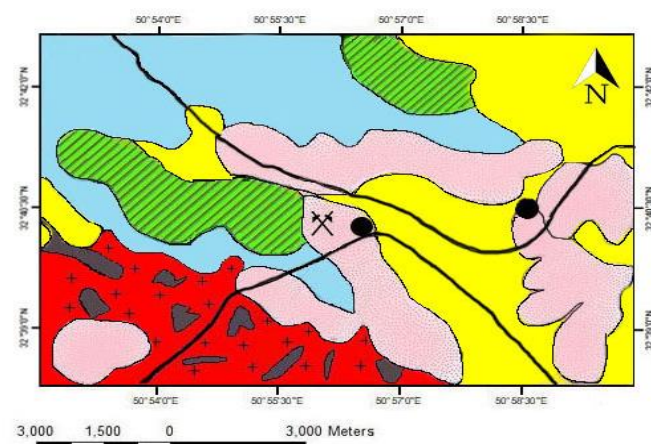
معدن آهن آبپونه در چهار کیلومتری غرب روستای آبپونه از توابع شهرستان تبران در غرب استان اصفهان قرار دارد. دسترسی به این معدن از طریق جاده اصلی تبران- سامان میسر است که پس از ۱۸ کیلومتر، به جاده فرعی روستای آبپونه به طول ۱۱ کیلومتر می‌رسد در این پژوهش، معدن آهن آبپونه از نظر ویژگی‌های زمین‌شناسی و فرایندهای کنترل کننده تشکیل کانسنگ بررسی شده است. پیش از بازکردن معدن آبپونه و بهره‌برداری از آن، بررسی‌هایی براساس رخنمون-های سطحی و چند کار کوچک معدنی در منطقه انجام شده است [۱۷]. این معدن در سال ۱۳۴۹ توسط برکت و کرباسیون کشف شد و در همان سال با ذخیره ۴۰۰۰۰۰ تن سنگ آهن با عیار ۶۰٪ آهن به ثبت رسید. پس از وقفه طولانی در سال ۱۳۸۷، پی‌جویی‌های زمین‌فیزیکی انجام شد و هم‌اکنون استخراج در بخش خصوصی صورت می‌گیرد. قدیمی‌ترین بررسی‌های انجام شده در منطقه مربوط به نقشه زمین‌شناسی اصفهان با مقیاس ۱/۲۵۰۰۰ و چادگان با مقیاس ۱/۱۰۰۰۰ [۱۹] هستند.

روش بررسی

پس از بررسی‌های صحرایی به منظور دستیابی به اهداف مورد نظر این پژوهش، نمونه‌برداری از بخش‌های مختلف شامل



شکل ۱ موقعیت معدن آهن آپونه در پهنه ساختاری سندج سیرجان [۱۹].



Legend

- Qt: Quaternary alluvium
- Kl: Thickbedded limestone to argillaceous limestone
- KJ3: Alternation of shale, sandstone, conglomerate and limestone
- J1: Slate and schist
- Jam: Amphibole garnet schist
- Jgn: Granite gneiss

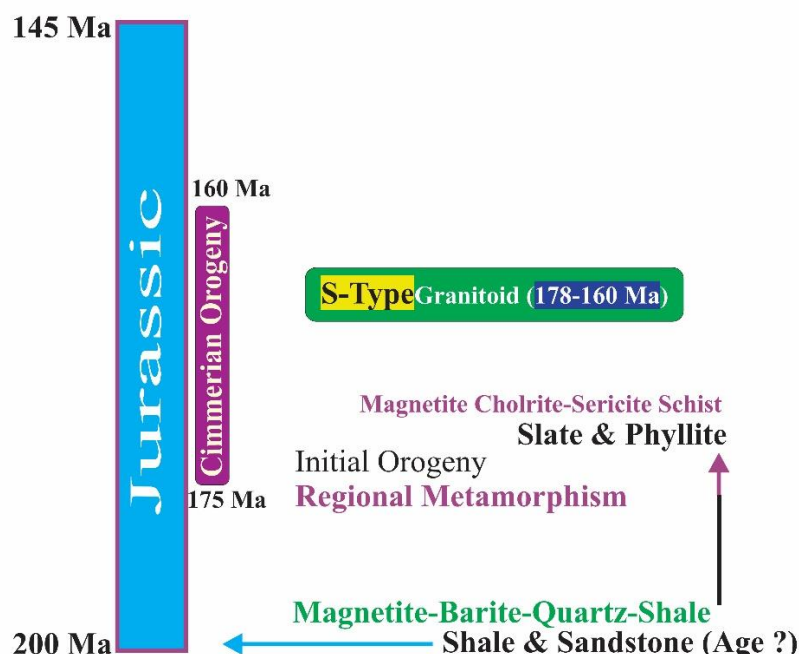
Symbols

- Village
- ✗ Mine
- Roads

شکل ۲ نقشه زمین‌شناسی منطقه آپونه زمین براساس نقشه زمین‌شناسی چادگان مقیاس [۲۰] ۱:۱۰۰۰۰.

است. واحد سنگی گابرو در منطقه رخنمون دارد (شکل ۴ ب)، اما این واحد در نقشه ۱:۱۰۰۰۰۰ چادگان گزارش نشده است. این واحد در جنوب غربی منطقه و در مرکز یک تاقدیس برگشته بروند دارد. گابرو هم زمان با رخداد دگرشکلی، که باعث چین خوردگی و پیدایش برگوارگی موازی با سطح محوری این چین‌ها در سنگ‌های تخریبی ژوراسیک پیشین - میانی شده، به صورت ورق‌هایی به درون این سنگ‌های تخریبی نفوذ کرده است.

واحد سنگی متارکوز و ماسه سنگ دگرگون شده در منطقه رخنمون دارد (شکل‌های ۳ و ۴ الف)، اما در نقشه ۱:۱۰۰۰۰۰ چادگان گزارش نشده است. سنگ مادر این بخش دگرگونی از جنس ماسه سنگ و شیل به همراه درون لایه‌های شیلی غنی از مواد آلی و زغال سنگ است. رخنمون‌های قدیمی این واحد را می‌توان در مرکز یک تاقدیس برگشته در جنوب روستای آبپونه دیده کرد که از سنگ‌هایی با درجه دگرگونی بالا چون گارنت آمفیبول شیست و گرانیت‌های گنیسی تشکیل شده



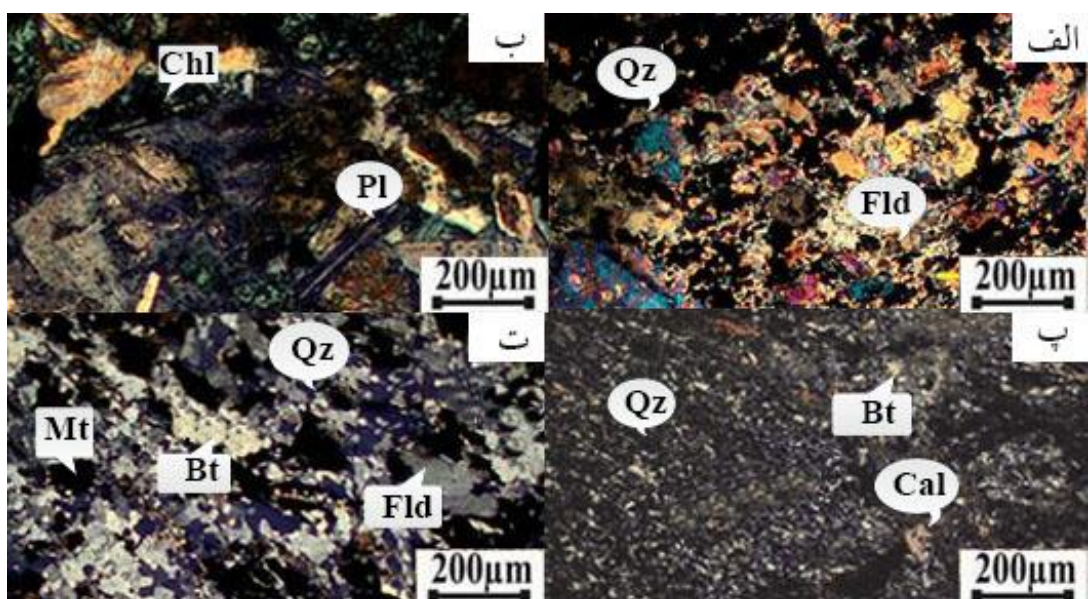
شکل ۳ تاثیر کوهزایی سیمرین در سنتنج سیرجان (ژوراسیک میانی).



شکل ۴ نمایی از ماسه سنگ دگرگون شده، دید شمال غرب معدن.

دگرگونی ناحیه‌ای، شیل و ماسه‌سنگ را به اسلیت و فیلیت (شکل ۴ ب) تبدیل کرده است (شکل ۶). این واحدهای سنگی نمایانگر بافت‌های ورقه شکفتی، اسلیتی، فیلیتی و شیستی بوده و شامل شیست، کوارتز شیست، کلریت شیست، مسکویت شیست، سرسیت شیست، سرسیت کلریت شیست هستند (شکل ۷).

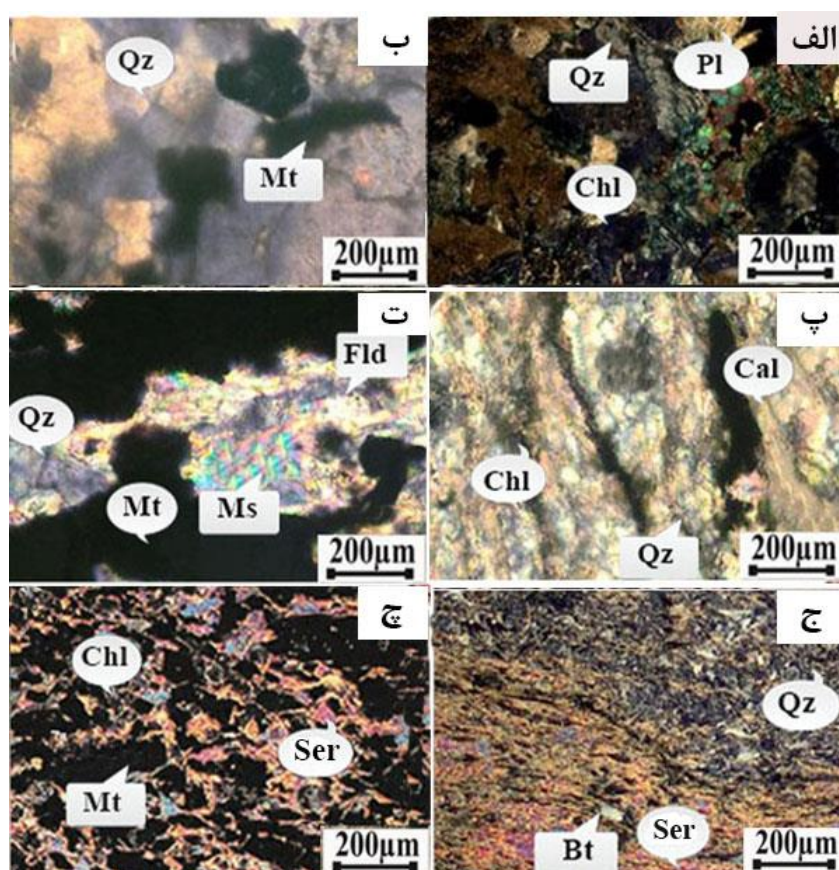
واحدهای سنگی شیست (شکل ۵ الف) و اسلیت (شکل ۵ ب) که ناشی از دگرگونی ناحیه‌ای شیل و ماسه‌سنگ هستند در منطقه رخمنون دارند و در ناحیه‌ی مرکز و شرق، جنوب شرقی و در جنوب غربی نقشه قابل مشاهده هستند (شکل ۱). واحدهای شیل و ماسه‌سنگ این منطقه قابل قیاس با سازند شمشک (ژوراسیک پیشین و میانی) هستند که کوهزایی سیمیرین‌میانی در ۱۷۵ میلیون سال پیش رخداده و طی این



شکل ۵ تصاویر میکروسکوپی واحدهای سنگی موجود در معدن (نور XPL): الف) متا آركوز: بافت این سنگ پورفیروبلاست و پروتولیت سنگ‌آذرین می‌باشد. کانی‌های اصلی شامل فلدسپار و کوارتز و کانی‌های فرعی بیوتیت و مسکویت می‌باشد. ب) گابرو: بافت سنگ افتیک و ساب افتیک و کانی‌های اصلی شامل کلریت، پلازیوکلاز و کانی‌های فرعی مسکویت و اولوین می‌باشد. پ) فیلیت: بافت سنگ فیلیتی و پروتولیت آن سنگ رسوبی می‌باشد. کانی اصلی شامل کوارتزهای جهت یافته و فلدسپار و کانی‌های فرعی باریت و کلسیت ثانویه می‌باشد. ت) متاریولیت: بافت سنگ پورفیروبلاست و لیبیدوبلاست و پرتولیت آن سنگ آذرین می‌باشد کانی‌های اصلی شامل کوارتز و فلدسپار و کانی فرعی باریت و مگنتیت می‌باشد. (QZ=کوارتز، Bt=باریت، Mt=مگنتیت، Cal=کلسیت، Fld=فلدسپار، Pl=پلازیوکلاز) [۲۲].



شکل ۶ الف) نمایی از جهت یافتگی شیست در معدن آبپونه که نشان دهنده برگوارگی هستند، ب) نمایی از اسلیت در شمال غرب معدن.



شکل ۷ تصاویر میکروسکوپی واحدهای سنگی موجود در معن آبپونه (نور XPL): (الف) شیست با بافت دانه‌شکفتی سنگ مادر سنگرسوبی که کانی‌های اصلی شامل کوارتز و فلدسپار و کانی‌های فرعی مگنتیت پلازیوکلاز، کلریت و باریت هستند، (ب) کوارتزشیست: با بافت ورقه‌شکفتی و شیستوارگی و سنگ مادر رسوبی که کانی‌های اصلی شامل کوارتز و مگنتیت و کانی‌های فرعی فلدسپار، کلسیت و مسکویت هستند، (پ) کلریت‌شیست: با بافت‌های میکروسکوپی ورقه‌شکفتی و دانه‌شکفتی و سنگ مادر رسوبی که کانی‌های اصلی شامل کلریت و کوارتز و کانی‌های فرعی کلسیت و مسکویت هستند، (ت) مسکویت‌شیست: با بافت دانه‌شکفتی و شیستوارگی سنگ مادر رسوبی که کانی‌های اصلی شامل مسکویت و کوارتز و کانی‌های فرعی کلسیت، مسکویت و مگنتیت هستند، (ث) سرسیت‌شیست با بافت ورقه‌شکفتی و شیستوارگی و سنگ مادر رسوبی که کانی‌های اصلی شامل سرسیت و کوارتز و کانی‌های فرعی باریت و فلدسپار هستند و (ج) سرسیت کلریت‌شیست با بافت ورقه‌شکفتی و شیستوارگی و سنگ مادر رسوبی که کانی‌های اصلی شامل سرسیت، و کلریت و کوارتز و کانی‌های فرعی باریت، کلسیت و مگنتیت هستند.
[۲۳]
کوارتز=Qz، باریت=Mt، مگنتیت=Ms، فلدسپار=Fld، کلریت=Chl، مسکویت=Cal، سرسیت=Ser.

ستندج - سیرجان می‌توان دیده کرد که در این سنگ‌ها دگرگونی خفیفی نیز دیده می‌شود این دگرگونی خفیف باعث تبدیل ریولیت به متاریولیت شده است (شکل ۴ ت). ستبرای دقیق آن را نمی‌توان برآورد کرد، اما دست کم چندصد متر ضخامت دارد و در شمال و شمال‌غربی نقشه قابل دیده است (شکل ۱).

واحدهای سنگی دیگری مربوط به کرتاسه پیشین شامل سنگ آهک و مارن در منطقه رخنمون یافته‌اند که ستبرای بیش از هزار متر دارند و همبری‌های بالا و پایین آنها دارای ناپیوستگی زاویه‌دار بوده که مربوط به پس از کوه‌زایی سمرین

کانی‌های اصلی اسلیت شامل انواع میکا، کلریت و کوارتز هستند که با افزایش درجه دگرگونی، اسلیت به فیلیت و شیست تبدیل می‌شود که از نظر کانی‌شناسی شبیه هم هستند ولی با افزایش درجه دگرگونی دانه درشت‌تر می‌شوند. واحدهای سنگی که از تناوب شیل، ماسه‌سنگ، کنگلومرا و سنگ‌آهک در این منطقه رخنمون دارند با پیشروی دریا در این گستره رخساره‌های کربناتی نهشته شده‌اند. تناوب فعالیت‌های آتشفسانی همراه با سنگ آهک‌های تریاس پسین - ژوراسیک پیشین نشانگر فوران سنگ‌های آتشفسانی در یک محیط کم عمق است که این پدیده را به ویژه در جنوب شرقی پهنه

مگنتیت: مگنتیت به عنوان کانه اصلی در این معدن وجود دارد و به صورت لایه‌ای و توده‌ای دیده شده است (شکل ۸). مگنتیت توده‌ای در شرایطی به وجود می‌آید که در زمان پیدایش معدن، غلظت آهن در برابر اسید سیلیسیک (H_2SiO_4) بالا باشد [۲۳]. مگنتیت لایه‌ای همراه با کوارتز و باریت دیده شد.

پیریت: این کانی به شکل انتشاری و رگه‌ای همراه با مگنتیت پدید می‌آید (شکل ۹) چنان که در شکل ۹ الف دیده می‌شود پیریت رگه‌ای مگنتیت را قطع کرده که نشانده‌نده روزادی بودن آن است. همچنین پیریت به صورت رگه‌ای و انتشاری با رگه‌های سیلیسی تشکیل شده که نشانده‌نده کانی‌زایی همزاد سولفید و سیلیس است.

هماتیت: پس از مگنتیت و پیریت، هماتیت فراوان‌ترین کانه موجود در معدن است. هماتیت ثانویه در اثر دگرسانی و هوازدگی مگنتیت در کناره‌ها پدید می‌آید [۲۴] (شکل ۱۰). تشکیل هماتیت در این مرحله نیازمند افزایش گریزندگی اکسیژن است و این اکسیژن توسط آب‌های ماقمایی یا جوی در پهنه‌های شکسته و خرد شده تامین می‌شود [۲۵] (شکل ۱۱).

هستند و در شمال و شمال‌غرب نقشه دیده می‌شوند [۱۹] (شکل ۱).

جوان‌ترین واحد سنگی رخنمون یافته در منطقه رسوب‌های سخت نشده کواترنری ناشی از فرسایش رسوب‌های پس از کوهزایی هستند که در شمال‌شرق، جنوب‌شرق، غرب و شمال غربی نقشه دیده می‌شوند (شکل ۱).

کانه نگاری

برپایه‌ی بررسی‌های صحرایی و آزمایشگاهی واحدهای سنگی موجود در معدن شامل دو دسته کانسنگ و سنگ میزان هستند. کانسنگ آهن به صورت هم‌شیب و لایه‌لایه با سنگ میزان دگ‌گونه قرار دارد. کانسنگ آهن به دو صورت لایه‌ای و توده‌ای در این معدن دیده می‌شود (شکل ۴). سنگ مادر شامل سنگ‌های آتشفسانی و رسوبی است. تعداد هشت مقطع صیقلی برای شناسایی کانه‌ها و بافت‌های کانسنگ از نمونه‌های کانسنگ و سنگ‌های کانه‌دار تهیه و بررسی شدند. در بسیاری از نمونه‌ها، رگه بزرگی از پیریت مگنتیت را قطع کرده و پیریت در مگنتیت تشکیل شده که نشانده‌نده روزادی بودن آن است. سیال گرمابی سولفیدی پس از تشکیل کانسنگ به مگنتیت نفوذ کرده و باعث ایجاد پیریت شده است.



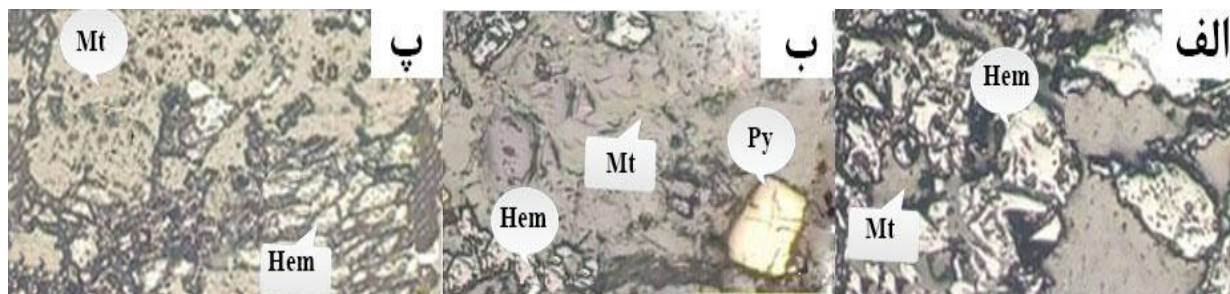
شکل ۸ الف) مگنتیت با بافت توده‌ای همراه با کوارتز و باریت، ب) مگنتیت با بافت نواری همراه با کوارتز و باریت.



شکل ۹ الف) پیریت رگه‌ای که مگنتیت را قطع کرده و نشانده‌نده روزادی بودن آن است، ب) پیریت به صورت انتشاری روی مگنتیت قرار دارد و بخشی از مگنتیت که به هماتیت تبدیل شده است.



شکل ۱۰ تبدیل بخشی از مگنتیت به هماتیت در اثر دگرسانی.



شکل ۱۱ (الف) نمایی از هماتیت و مگنتیت که در مقطع صیقلی ۶۰ درصد مگنتیت و ۴۰ درصد هماتیت دیده شده و هماتین آهن شده است. (ب) نمایی از مگنتیت و پیریت شکل دار و هماتیت که در مقطع صیقلی شامل ۴۰ درصد پیریت، ۵۰ درصد مگنتیت و ۱۰ درصد هماتیت است. (پ) نمایی از مگنتیت و پیریت که پیریت به صورت میانبار در مگنتیت وجود دارد. در مقطع صیقلی این نمونه مقدار ۷۰ درصد مگنتیت، ۲۰ درصد هماتیت دیده شده است. (Mt=مگنتیت, Hem=هماتیت, Py=پیریت [۲۳]).

سنگ را می‌توان یک سامانه شیمیایی در نظر گرفت که تغییرات شیمیایی در آن با عوامل مختلفی ایجاد شده و با تغییر شرایط تعادلی پیشین، سامانه جدیدی پدید می‌آید [۲۶]. عناصری که اجزای آن دستخوش این تغییرات می‌شوند از طریق تبادل با سامانه سنگی و ایجاد تغییرات به تعادل می-رسند که اثر آن را میتوان در ترکیب شیمیایی سنگ دیده نمود. اثر این مهاجرت که به عوامل زمین شیمیایی محیط از جمله پتانسیل اکسایش-کاهش (Eh) درجه اسیدی (pH)، گریزندگی اکسیژن و یا ترکیبی از آنها بستگی دارد، به بازسازی شرایط فیزیکوشیمیایی سنگ، کمک می‌کند.

افزون بر سنگنگاری بررسی‌های زمین‌شیمیایی نیز انجام شده است که نتایج زمین‌شیمی سنگ میزان و کانسنگ به روش XRF در جدول ۱ و به روش ICP-MS در جدول ۲ مشخص شده است.

دگرسانی سیلیسی و پیریتی: سیالی شامل گوگرد احیایی به سنگ‌ها نفوذ یافته و در برخورد با مگنتیت در راستای پهنه شکستگی جانشین مگنتیت شده و بسته به مقدار گوگرد احیایی، کل مگنتیت و گاهی مقداری از آن را به پیریت تبدیل کرده است. پیریت به صورت پراکنده و میانبار در مگنتیت بوجود آمده است.

سیال گرمابی که پیریت را بوجود آورده باعث ایجاد رگه‌های سیلیسی نیز شده است. در واقع، یک سیال سولفیدی اشباع از سیلیس منجر به دگرسانی سیلیسی و سولفیدی شده است (شکل ۱۲).

زمین‌شیمی کانی‌ها

چگونگی توزیع و پراکندگی عناصر مختلف در واحدهای سنگی و کانسنگی و همچنین همبستگی آنها اطلاعات مفیدی در اختیار می‌گذارد. با استفاده از این روابط می‌توان به ویژگی‌های محیط و فرآیندهای مؤثر در تشکیل یک معدن پی برد. هر



شکل ۱۲ نمایی از دگرسانی سولفیدی و سیلیسی در جنوب معدن.

جدول ۱ نتایج تجزیه شیمیایی سنگ میزبان و کانسنگ معدن آهن آبپونه به روش XRF مقادیر بر حسب درصد هستند.

نمونه	Ap12	Ap6	Ap5	Ap4	Ap3	Ap1
MgO	۰,۲۱	۰,۲۲	۰,۱	۰,۱۲	۰,۱۲	۰,۱۱
Al ₂ O ₃	۱,۱۳	۱,۰۶	۰,۵۸	۱,۳۱	۱,۸	۰,۲۳
SiO ₂	۱۷,۴	۱۱,۸	۲,۸۲	۱۳,۵	۵,۲۷	۷,۲۸
P ₂ O ₅	۰,۰۶۶	۰,۰۳۷	۰,۰۳	۰,۰۷۸	۰,۰۷۸	۰,۰۷
SO ₃	۰,۸۶	۳,۴۱	۱۱,۷	۵,۳۲	۸,۳۱	۸,۴۷
K ₂ O	۰,۱۸۹	۰,۱۲۱	۰,۰۴۶	۰,۲۹۷	۰,۲۸	۰,۲
CaO	۳,۳۹	۰,۳۵	۰,۰۶۸	۰,۳	۰,۲۲	۲,۳۳
MnO	۰,۱۰۴	۰,۱۹	۰,۱	۰,۱۱	۰,۱۲	۰,۱۴
FeO	۷۳,۷	۷۷,۲۹	۶۴,۷۷	۶۷,۶۴	۶۴,۴۵	۶۴,۸۵
BaO	۱,۱۴	۵,۱۹	۱۸,۶۲	۸,۸۵	۱۴,۳	۱۴,۱۵
TiO ₂	۰,۰۶۵	-	۰,۱	۰,۳	۰,۳	۰,۹۸
LOI	۰,۶۱	-	۰,۴	۱,۸۷	۴,۱۴	۰,۹۹
مجموع	۹۹,۹۱	۹۹,۹۶	۹۹,۸۹	۹۹,۹۴	۹۹,۹۵	۹۹,۹۸

جدول ۲ نتایج تجزیه شیمیایی سنگ میزبان و کانسنگ معدن آهن آبپونه به روش ICP-MS مقادیر بر حسب ppm هستند.

نمونه	AP57	AP34	AP49	AP28	AP40	AP33	AP51	AP44	AP52
کانی	Mt-Qtz-Cc-Ba	Mt-Ba-Qtz-Cc	Mt-Qtz-Fed	Mt-Cho-Qtz-Mus-Oli	Qtz-Mt-Ba-Ser-Cho	Mus-Qtz-Mt-Cho-Oli	Mt-Mus-Cc-Fed	Mt-Ser-Cc-Fed-Cho	Mt-Ba-Qtz-Fed
Fe	۷۸۵۰۰	۷۸۵۰۰	۷۸۱۰۰	۵۲۹۰۰	۴۲۰۰۰	۵۲۱۰۰	۷۸۲۰۰	۷۷۲۰۰	۷۸۹۰۰
Mn	۵۷	۱۲۲	۹۷	۱۴۷۰	۷۱۴	۱۱۹۵	۱۴۰	۱۴۷	۲۷
Ti	۳۰۰	۲۰۰	۱۰۰	۷۳۰۰	۳۸۰۰	۸۳۰۰	۱۰۰	۶۰۰	-
Co	۱,۲	۲	۵	۵۴	۲۹	۷۰	۱,۲۱	۱۱	۱
Cr	۲۴۱	۲۹۴	۲۶	۱۰۵	۸۶	۸۷	۵۹	۳۱	۷۷
Ni	۴۶	۶۶	۳۵	۴۷	۴۶	۳۸	۴۸	۳۵	۵۱
P	۱۰۰	۲۰۰	۱۰۰	۳۰۰۰	۱۸۰۰	۳۳۰۰	۱۰۰	۷۰۰	۱۰۰
S	۸۰۰	۱۴۰۰	۱۴۰۰	۲۲۰۰	۶۰۰	۲۹۰۰	۲۳۰۰	۱۵۰۰	۱۲۰۰
Ba	۱۸۹۳	۴۷۴۴	۲۱۵۵	۱۴۴۴	۱۴۰۷	۱۹۰۶	۱۴۷۶	۴۸۴۸	۲۰۲۱
Al	۱۴۳۰۰	۱۶۲۰۰	۱۲۰۰	۵۴۴۰۰	۶۴۳۰۰	۵۹۱۰۰	۲۳۰۰	۱۶۰۰۰	۲۹۰۰
Mg	۱۰۰۰	۱۵۰۰	۶۰۰	۳۴۹۰۰	۱۷۱۰۰	۲۸۶۰۰	۱۳۰۰	۲۳۰۰	۳۰۰
Ca	۳۷۰۰	۲۱۰۰	۸۰۰	۴۸۶۰۰	۳۱۹۰۰	۳۹۳۰۰	۷۰۰۰	۴۵۰۰	۱۲۰۰
K	۴۶۰۰	۵۱۰۰	۱۰۰	۳۳۰۰	۱۷۳۰۰	۵۸۰۰	۳۰۰	۴۴۰۰	۸۰۰
Na	۶۳۰۰	۷۲۰۰	۴۰۰	۲۰۸۰۰	۱۶۰۰۰	۲۲۲۰۰	۴۰۰	۵۳۰۰	۴۰۰

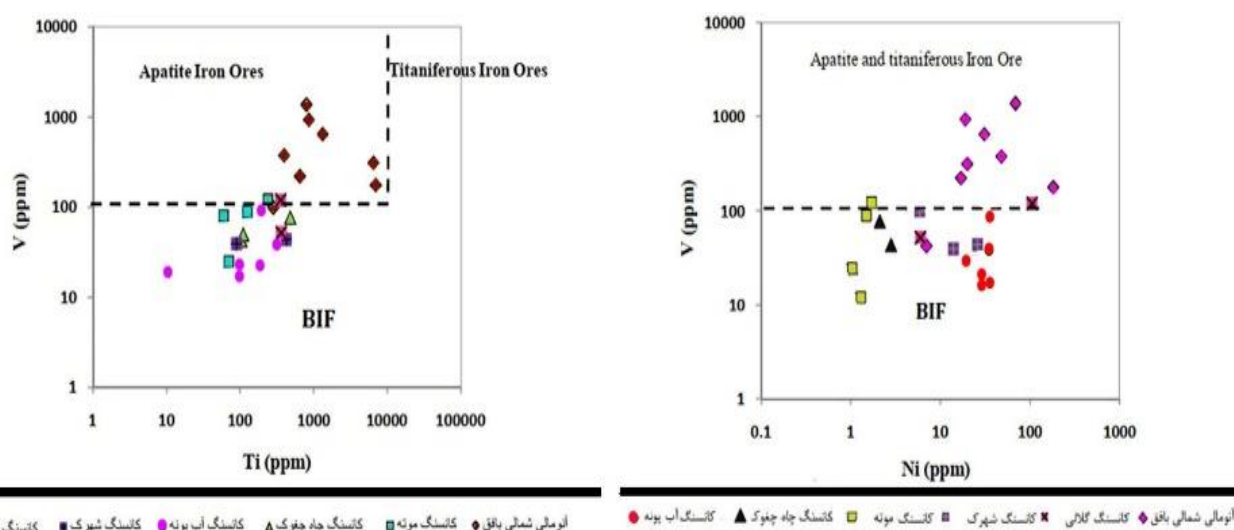
Mt=Magnetite, Cc=Calcite, Ba=Barite, Mus=Muscovite, Cho=Chlorite, Qtz=Quartz, Fed=Feldspar, Oli=Olivine, Ser=Sericite [23].

سنندج-سیرجان دارای ذخایر متعددی از کانسنگ آهن است که برخی از آنها در دست بهره‌برداری هستند. کانسار گل گهر در جنوب غربی سیرجان یکی از کانسارات‌های شناخته شده آهن در این پهنه بوده که در مورد خاستگاه آن نظریه‌های متفاوتی ارائه شده است [۲۷]. آخرین نظریه در مورد خاستگاه این کانسار توسط باکی و همکاران [۱۳] ارائه شده است که آن را به عنوان کانسار رسوی نوع راپیتان، با سن احتمالی پروتوروزوئیک معرفی می‌کند.

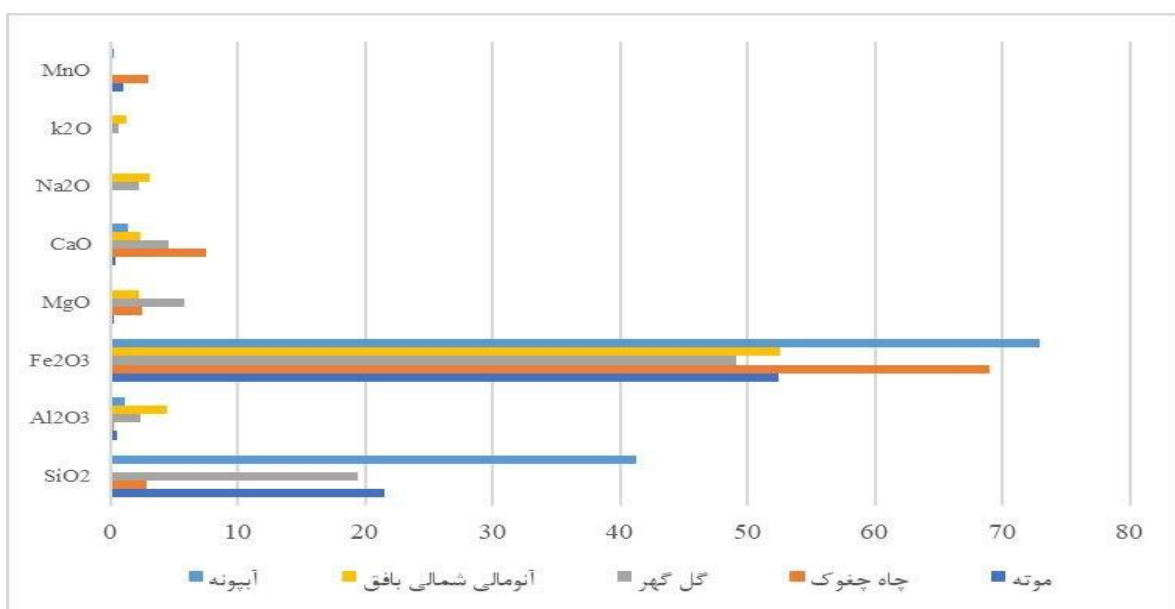
مقایسه کانسنگ آهن آبپونه با معادن آهن در پهنه سنندج-سیرجان و ایران مرکزی میانگین اکسیدهای اصلی کانسنگ آبپونه با میانگین اکسیدهای اصلی کانسنگ معادن موته [۱۴]، چاه چفوک [۱۲]، گل گهر [۱۳] و ناهنجاری شمالی بافق [۱۶] مقایسه شده است (جدول ۳). کانسنگ نواری آبپونه نسبت به کانسنگ‌های موته، چاه چفوک، گل گهر و کانسنگ ناهنجاری شمالی بافق مقدار آهن و سیلیس بیشتری دارد و فقیر از منیزیم است (شکل ۱۳ و ۱۴) پهنه

جدول ۳ مقایسه مقادیر میانگین اکسیدهای اصلی در کانسنگ آهن آبپونه با معادن آهن در پهنه سنندج-سیرجان و ایران مرکزی (بر حسب درصد).

میانگین درصد وزنی اکسیدهای اصلی	میانگین درصد وزنی اکسیدهای اصلی ۵ نمونه از کانسنگ موته [۱۰]	میانگین درصد وزنی اکسیدهای اصلی ۲ نمونه از کانسنگ چاه چفوک [۱۲]	میانگین درصد وزنی اکسیدهای اصلی در کانسنگ گل گهر [۱۳]	میانگین درصد وزنی اکسیدهای اصلی ۱۰ نمونه از کانسنگ ناهنجاری شمالی بافق [۱۶]	میانگین درصد وزنی اکسیدهای اصلی از عنمونه کانسنگ آبپونه
SiO ₂	۵۷/۲۱	۹۰/۲	۴۰/۱۹	-	۲۳/۴۱
Al ₂ O ₃	۴۹/۰	۳۰/۰	۳۸/۲	۴۳/۴	۱۶/۱
Fe ₂ O ₃	۴۵/۵۲	۶۹	۱۲/۴۹	۵۹/۵۲	۸۷/۷۲
MgO	۲۴/۰	۵۳/۲	۸۲/۵	۲۲/۲	۱۸/۰
CaO	۴۰/۰	۵۴/۷	۵۵/۴	۳۳/۲	۳۴/۱
Na ₂ O	۰/۱۰	۰/۴۰	۲۰/۲	۰/۵۳	۱۳/۰
K ₂ O	۰/۱۴۰	۰/۵۰	۶۰/۰	۳۲/۱	۲۰/۰
MnO	۹۸/۰	۰/۲/۳	۰/۱/۰	۰/۵/۰	۲۹/۰



شکل ۱۳ جایگیری نمونه‌های کانسنگ آبپونه و تعدادی از نمونه‌های کانسنگ ذخایر آهن در نمودارهای دوتایی وانادیوم، تیتانیوم، وانادیوم نیکل برای تعیین خاستگاه معادن آهن [۲۸].



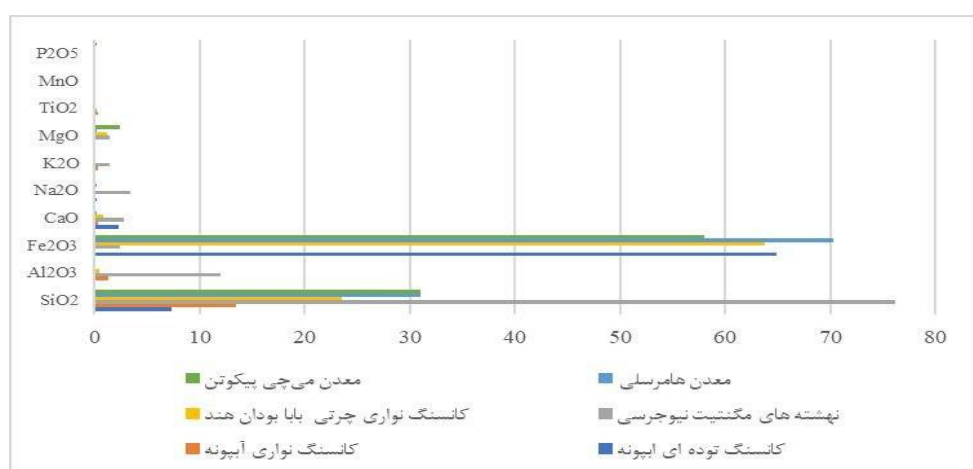
شکل ۱۴ نمودار چند عنصری برای مقایسه درصد اکسیدهای اصلی در کانستنگ آبپونه با برخی از معدن آهن در پهنه سندج - سیرجان و ایران مرکزی.

میزان اکسید سدیم، آلومینیوم بالاتری نشان می‌دهد این مقدار در کانستنگ توده‌ای میزان اکسید کلسیم، سدیم بیشتری نشان می‌دهد. فراوانی تیتانیوم الومینیوم و منیزیم نشان‌دهنده ورود مواد تخریبی به حوضه روسوبی است [۳۳] (جدول ۴).

از مقایسه الگوهای جهانی و بر پایه مقدار عناصر موجود در کانستنگ و سنگ میزبان می‌توان نتیجه گرفت که ۱) خاستگاه عناصر تشکیل‌دهنده در کانستنگ قابل مقایسه با نوع آلگوما و سوبریور است. ۲) مواد تخریبی به حوضه وارد شده‌اند و رسوپ-گذاری شیمیایی فرآیند غالب بوده است.

مقایسه معدن آبپونه با نمونه‌های جهانی

انواع مختلفی از معدن آهن روسوبی دگرگون و آذرین، گرمابی، اسکارن و ... شناخته شده است که با توجه به شباهت این معدن با معدن روسوبی آهن نواری مقادیر عناصر آن با معدن موجود در سندج سیرجان و ایران مرکزی و نهشته‌ها و معدن دیگر از قبیل نهشته‌های مگنتیت نیوجرسی [۲۹]، کانستنگ نواری چرتی بابا بودان هند [۳۰]، معدن هامرسلی [۳۱] و معدن می چی پیکتون [۳۲] بررسی شد. با توجه به شکل ۱۵، معدن آبپونه در مقایسه با میانگین اکسیدهای اصلی در معدن آهن نواری مقدار سیلیس منگنز و کلسیم پایین‌تر و



شکل ۱۵ نمودار چند عنصری برای مقایسه درصد اکسیدهای اصلی در کانستنگ‌های آبپونه با کانستنگ نیوجرسی [۲۹]، هامرسلی [۳۰]، بابابودان هند [۳۱]، می چی پیکتون [۳۲].

جدول ۴ مقایسه مقادیر اکسیدهای اصلی در معدن کانسنگ آبپونه با سایر معدن رسوی (بر حسب درصد).

اکسید های اصلی	SiO ₂	Al ₂ O ₃	Fe ₂ O ₃	CaO	Na ₂ O	K ₂ O	MgO	TiO ₂	MnO	P ₂ O ₅
کانسنگ توده ای آبپونه	۲۸,۷	۶۲,۰	۸۵,۶۴	۳۳,۲	۲۲,۰	-	۱۱,۰	۱۴,۰	-	-
کانسنگ نواری آبپونه	۵۰,۱۳	۳۱,۱	۶۴,۶۷	۳۰,۰	۱۲,۰	۲۹,۰	۱۲,۰	۳۰,۰	-	۰,۷۰
نهشته های مگنتیت نیوجرسی [۲۹]	۱۸,۷۶	۰,۳,۱۲	۴۲,۲	۸۰,۲	۴۰,۳	۴۲,۱	۴۴,۱	۲۱,۰	۰,۷۰	۰,۹۰
کانسنگ نواری چرتی [۳۰] بابا بودان هند	۵۰,۲۳	۴۱,۰	۸,۶۳	۸۵,۰	۰,۵,۰	۰,۳,۰	۲۳,۱	۰,۱,۰	۰,۳,۰	۰,۲,۰
معدن هامرسلی [۳۱]	۳۱	۰,۵,۰	۳۰,۷۰	۲۳,۰	۲۶,۰	۰,۲,۰	۲۳,۰	۰,۲,۰	۰	۱۳,۰
معدن می چی پیکوتن [۳۲]	۳۱	۱۴,۰	۰,۱,۵۸	۰,۶۱,۰	۰,۹,۰	۰	۳۶,۲	۰,۲,۰	۰,۳,۰	۱۸,۰

باعث بازتابلور کانی‌ها گردیده است. لایه‌بندی موازی با سنگ میزبان نشان‌دهنده خاستگاه رسوی آن است.

با توجه به بررسی‌های انجام شده پیرامون ویژگی‌های زمین‌شیمی مگنتیت‌های معدن سوئد [۳۴] نمودارهایی ارائه شد که با توجه به تغییرات وانادیوم نسبت به تیتانیم و نیکل، معدن آهن ماقمایی و آهن تیتان‌دار را از معدن آهن نواری تفکیک می‌کند. در نمودار دوتایی V-Ni، مرز جداسازنده معدن رسوی از معدن ماقمایی آپاتیتی و تیتان‌دار، مقدار وانادیم حدود ۱۰۰ ppm است. مرز معدن آپاتیتی با معدن تیتان‌دار، با ۱۰۰ ppm تیتانیوم مشخص می‌شود. در نمودار دوتایی V-Ti، مرز جدایش معدن آهن نواری (BIF) از معدن آذرین آپاتیتی و غنی از تیتانیوم، مقدار وانادیم برابر با ۱۰۰ ppm است. با توجه به ترکیب، معدن آهن آبپونه، موته و چاه چفوک در دسته آهن نواری‌ها قرار دارد و ترکیب نمونه‌های کانسنگ ناهنجاری شمال بافق در گستره معدن آپاتیتی واقع است.

قدرتانی

نویسنده صمیمانه از راهنمایی و حمایت‌های بی‌دریغ همه مسئولین و کارکنان بخش اداری و آزمایشگاهی دانشگاه شهید بهشتی تشکر می‌نماید.

مراجع

- [1] Moein Vaziri H., "An introduction to the Magmatism in Iran (in persian)" (1996) 200-280.

برداشت

معدن آهن آبپونه در ۸۵ کیلومتری غرب استان اصفهان در شهرستان تیران واقع شده است سنگ میزبان این معدن شامل ماسه سنگ دگرگونه، کلریت مسکویت شیست و فیلیت است درون سنگ‌های دگرگونه یک رخداد کانی‌زایی آهن صورت گرفته است.

کانسنگ در معدن آبپونه به دو صورت ۱) نواری شامل تنابوی از لایه‌های باریت و سیلیس و مگنتیت و ۲) توده‌ای مگنتیت-هماتیتی همراه با مقادیر باریت و کوارتز وجود دارد. با توجه به بررسی‌های انجام شده، سنگ میزبان در حد رخساره شیست سبز دگرگون شده و کانسنگ رسوی است.

سنگ رسوی اولیه در محیط کم عمق رسوب کرده و کانی‌های سیلیکاتی چون مسکویت و کلریت طی دگرگونی ناحیه‌ای در سنگ میزبان ایجاد شده‌اند از این رو، رخساره شیست سبز را برای سنگ‌های در برگیرنده کانسنگ می‌توان در نظر گرفت. وجود لایه‌های اکسید آهن در تنابو با لایه‌های سنگ میزبان نشان‌دهنده رسوی بودن خاستگاه کانسنگ آهن آبپونه است. لایه‌های نواری کانسنگ شامل تنابوی از باریت سیلیس، مگنتیت و هماتیت هستند. رشد شکفته بلورهای در سنگ میزبان لایه‌بندی نواری اکسید آهن را بهم زده‌اند که نشان‌دهنده تشکیل اکسید آهن سپس از فرآیند دگرگونی است. بهطور کلی، دگرگونی اثری بر کانی‌زایی نداشته و کانسنگ آبپونه با تشکیل کانی دگرگونی ویژه‌ای همراه نبوده است. دگرگونی فقط

- [15] Barati M., "Comparison and genesis of iron ore deposits in some parts of Hamedan, Kermanshah and Kordestan States" M.sc. thesis, Shahid Beheshti University of Tehran(2008)in persian.
- [16] Behzadi M., "Geochemistry and Genesis of northen anomaly iron deposit located in Bafgh area, Yazd" Ph.D. Thesis ,Shahid Beheshti University of Tehran(2006)in persian.
- [17] Sadeghi K., "Geochemistry and generate iron ore in the iron deposit of Abpooneh, West of Isfahan province " M.sc. thesis, Shahid Beheshti University of Tehran(2010)in persian.
- [18] Zahedi M., Vaezi A., "Geological map of Isfahan (scale 1:250000)". Geological Survey&Mineral Exploration of Iran (1978).
- [19] Ghasemi A., Haj Hosseini A., Hosseini M., "Geological map of Chadegan (scale 1:100000)". Geological Survey&Mineral Exploration of Iran (2006).
- [20] Karimpour, M.H., Shirdashtzadeh, N. and Sadeghi, M., 2021. "Granitoids of Sanandaj-Sirjan Zone that are concurrent with Cimmerian Orogeny (178-160 Ma) belong to ilmenite series (S-type) investigation of reason for lacking the porphyry tin mineralization". Journal of Economic Geology, 13(1): 1–28. (in Persian with English abstract) DOI:10.22067/econg.v13i1.1011
- [21] Riyahi Samani F, Shabanian Boroujeni* N, Davoudian Dehkordi A, Bakhtiyari B., "Fractal analysis of quartz grain boundary in the gneissic granite of Abadchi, North of Shahrekord. " www.ijcm.ir 2019; 27 (2) :401-410. DOI: 10.29252/ijcm.27.2.401
- [22] Whitney D., Evans B., "Abbreviations for names of rock forming minerals", American mineralogist 95 (2010) 185-187.
- [23] Maynard, J. B., Okita, P. M., "Bedded barite deposits in the United States, Canada, Germany, and China; two major types based on tectonic setting". Economic Geology; 1991, v. 86; no. 2, pp. 364-376 (1991).
- [24] Bau, m., moller, p., "Rare earth element systematic of the chemically precipitated component in Early Precambrian iron-formation and the evolution of terrestrial atmosphere-hydrosphere-lithosphere system". Geochim Cosmochim Acta, V.57, pp. 2239-2249. (In: Klein, 2005) DOI:10.1016/0016-7037(93)90566-F
- [25] Haynes, D.W., "Iron oxide copper (-gold) deposits: Their position in the ore deposit spectrum and modes of origin. In: T.M. Porter (Editor), Hydrothermal iron oxide-copper-gold
- [2] Houshmandzadeh A., Soheili M., "Explanatory Text Of The Eqlid Quadrangle Map 1:25000. Geological Survey of Iran " (1990).
- [3] Gregory J.W., "The structure of Asia . Introduction . London" (1929).
- [4] Stocklin, J. "Structural History and Tectonic of Iran: A Review. American Association of Petroleum Geologists Bulletin, USA" 1229-1258(1968).
- [5] Ricou, L.E., "Une coupe a travers les se'ries a radiolarite des monts Pichakun (Zagros, Iran). Socie'te' Ge'ologique de France " .(10), 478–485 1968.
- [6] Mohajjal M ., Fergusson Cl ., "Dextral transpression in late Cretaceous continental collision, Sanandaj-Sirjan Zone, Western Iran" (2000)
- [7] Thiele, O., Alavi, M., Assefi, R., Hushmandzadeh, A., Seyed-Emami, K. and Zahedi, M., "Geological map of the Golpaygan quadrangle, scale 1:250,000. Geological Survey of Iran.(1968) "
- [8] Zahedi.,M "Geological map of shahrekord 1:250000,Geological survey of iran map (1992)
- [9] Sabzehei M., "Geological Map of the Neyriz. Geological Quadrangle Map 1\100000, No. 6848, Geological Survey of Iran. " (1996) (In Persian)
- [10] N. RachidnejadOmran et al., C. R. "Lithostratigraphie et histoire paléozoïque à paléocène des complexes métamorphiques de la région de Muteh, zone de Sanandaj-Sirjan (Iran méridional) " Geoscience1185–1191(2002).
- [11] Hassanzadeh J., Stockli F., Horton B., Axen J., Stockli D., Grove D.. Schmitt K., Douglas Walker J., "U-Pb zircon geochronology of late Neoproterozoic-Early Cambrian granitoids in Iran: Implications for paleogeography, magmatism, and exhumation history of Iranian basement,Tectonophysics, "(2008) 71-96
- [12] Amini Y. S., "Genetic model of chah-chaghok iron ore deposit,southeast sirjan,southern iran "M.sc. thesis, Shahid Beheshti University of Tehran(2009) in persian.
- [13] Babaki A., & Aftabi A., "Investigation on the model of iron mineralization at gol gohar iron deposit, Sirjan-Kerman. (in Persian)Geoscience of Iran (2006) 40-59 in persian.
- [14] Atrsaei P., "Geology and Conditions of Formation of Iron Ores, and Relations to Metamorphic Processes, in Mooteh Area ,East of Golpayegan" M.sc. thesis, Shahid Beheshti University of Tehran(2008)in persian.

implications on their genesis", J. Earth Syst. Sci. 118, No. 6, 2009, pp. 619–641 Indian Academy of Sciences.

[31] Z.X. Li, C.McA. Powell and R. Bowman "Timing and genesis of Hamersley iron-ore deposits" *Exploration Geophysics* 24(4) 631 – 636. DOI:10.1071/EG993631

[32] Arthur Philemon Coleman "The Helen iron mine, Michipicoten" *Economic Geology* (1906) 1(6): 521–529. DOI:10.2113

[33] Loberg, B.E.H. and Horndahl. A.K. (1983) Ferride Geochemistry of Swedish Precambrian Iron Ores. *Mineralium Deposita*, 18, 487-504

[34] Sun, H., Wu, J., Yu, P., Li, J., "Geology, geochemistry and sulfur isotope composition of the Late Proterozoic Jingtieshan (Superior-type) hematite-jasperbarite iron ore deposit associated with stratabound Cu mineralization in the Gansu Province, China Cu mineralization in the Gansu Province, Deposita" 34: 102-112(1998).

and related deposits" A global perspective. Australian Mineral Foundation, Adelaide, pp.71–90 (2000).

[26] Clark F., "The relative abundance of the chemical elements" (1892).

[27] Young, G. M., 2002 "Stratigraphic and Tectonic Setting of Proterozoic Glaciogenic Rocks" *Journal of African Earth Science, Geological Society of Africa Presidential*, v.35, P: 451-466.

[28] Berberian, M. and King, G. C. P "Towards a paleogeography and tectonic evolution of Iran. Canadian Journal of Earth Sciences" 18: 1764-6 . (1981).

[29] Paul K. Sims and A. F. Buddington "Geology and magnetite deposits of Dover district, Morris County, New Jersey, with a description of the geologic section at Hibernia mine" *Professional Paper 287*, DOI:10.3133/pp287

[30] Roy, Subrata., Venkatesh, A.S., 2009. "Mineralogy and geochemistry of banded iron formation and iron ores from eastern India with